

## تأثير زوايا الانفراج لمنشآت تحويل المقطع على النحر الحاصل في مؤخر المنشأ

سوسن حسون محمد كريم خلف هادي

قسم هندسة البناء والإنشاءات / الجامعة التكنولوجية

(Received 4 April 2007; accepted 13 April 2008)

### الخلاصة

تعتبر منشآت تحويل المقطع ( Transition Structures ) احد اهم المنشآت الهيدروليكية استخداما للسيطرة على سرعة جريان الماء كما تساعد في تقليل عملية النحر في مؤخر المنشأ علماً ان هناك في المنشآت الهيدروليكية منشأ تحويل في المقدم وآخر في المؤخر. في البحث الحالي تم استخدام سبعة نماذج مختبرية لمنشآت تحويل المقطع وبزوايا انفراج مختلفة بين 10° و 90° ومن تحليل النتائج تبين ان لرقم فراود ( Froud Number ) تأثير واضح على عمق النحر الحاصل وان التصاريف العالية تساعد في زيادة نسبة طول النحر الى عمقه ، ولغرض اختيار افضل زاوية انفراج لمنشأ تحويل المقطع تبين ان زاوية 40° تحقق اقصى قدرة تصريف و اقل طول للمنشأ وكذلك اقل عمق للنحر مع ثبات العوامل الاخرى المؤثرة على عملية النحر.

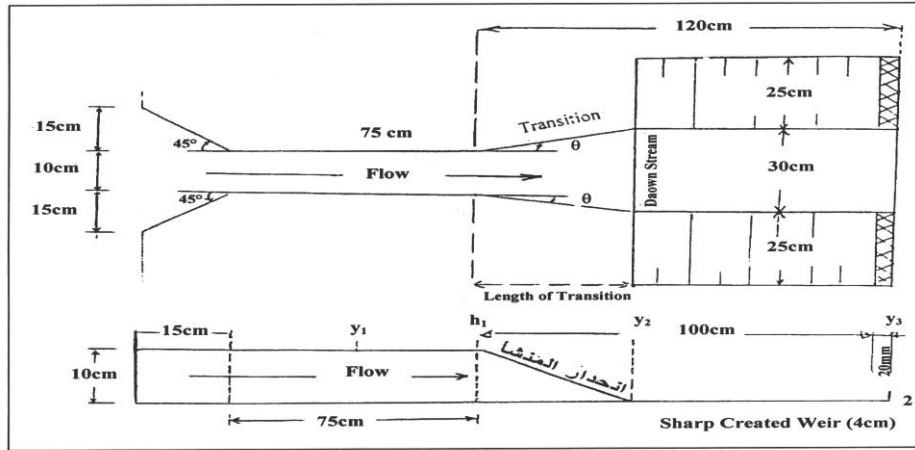
**الكلمات المفتاحية:** منشآت تحويل المقطع، رقم فراود، طول وعمق الانجراف، زاوية اجراف جوانب المنشأ.

### 1. المقدمة:

ان المشاكل المرتبطة بالتعرية والانجراف ( Scour ) باتت معروفة في المنشآت المائية ، فالتعرية هي انجراف جزينات التربة من محيطها بواسطة تيار مائي وحدوث تغيرات مهمة في شكل وخواص ارضية الجريان بسبب عملية النحر وخاصة في مؤخرة منشأ تحويل المقطع ( Outlet Structures ) وقد تحصل هذه الظاهرة نتيجة خيارات تصميمية غير مناسبة منها زوايا انفراج جوانب المنشأ<sup>(5)</sup>.  
ولتفادي عملية النحر لا بد من تحديد بعض المتغيرات الهيدروليكية منها سرعة الجريان وزوايا الانفراج لجوانب المنشآت وتقدير الزاوية المثلى التي تحقق اقل مساحة من النحر وتعطي اعلى تصريف للمياه بالإضافة الى عزم تغير المقطع ونوعية التربة المستخدمة<sup>(2)</sup>.  
ومما لاشك فيه ان هنالك علاقة وثيقة بين كمية النحر الحاصلة في مخارج هذه المنشآت وبين الشكل الهندسي للمنشأ. وقد انصب اهتمام البحث الحالي على معرفة افضل زاوية انفراج لجوانب منشأ تحويل المقطع من مستطيل الى مقطع مستطيل بابعاد اخرى اقل والتي تحقق اقصى قدرة تصريفية وأقل طول للمنشأ وأقل عمق للنحر الحاصل في مؤخر هذه المنشآت.

### 2. العمل المختبري:

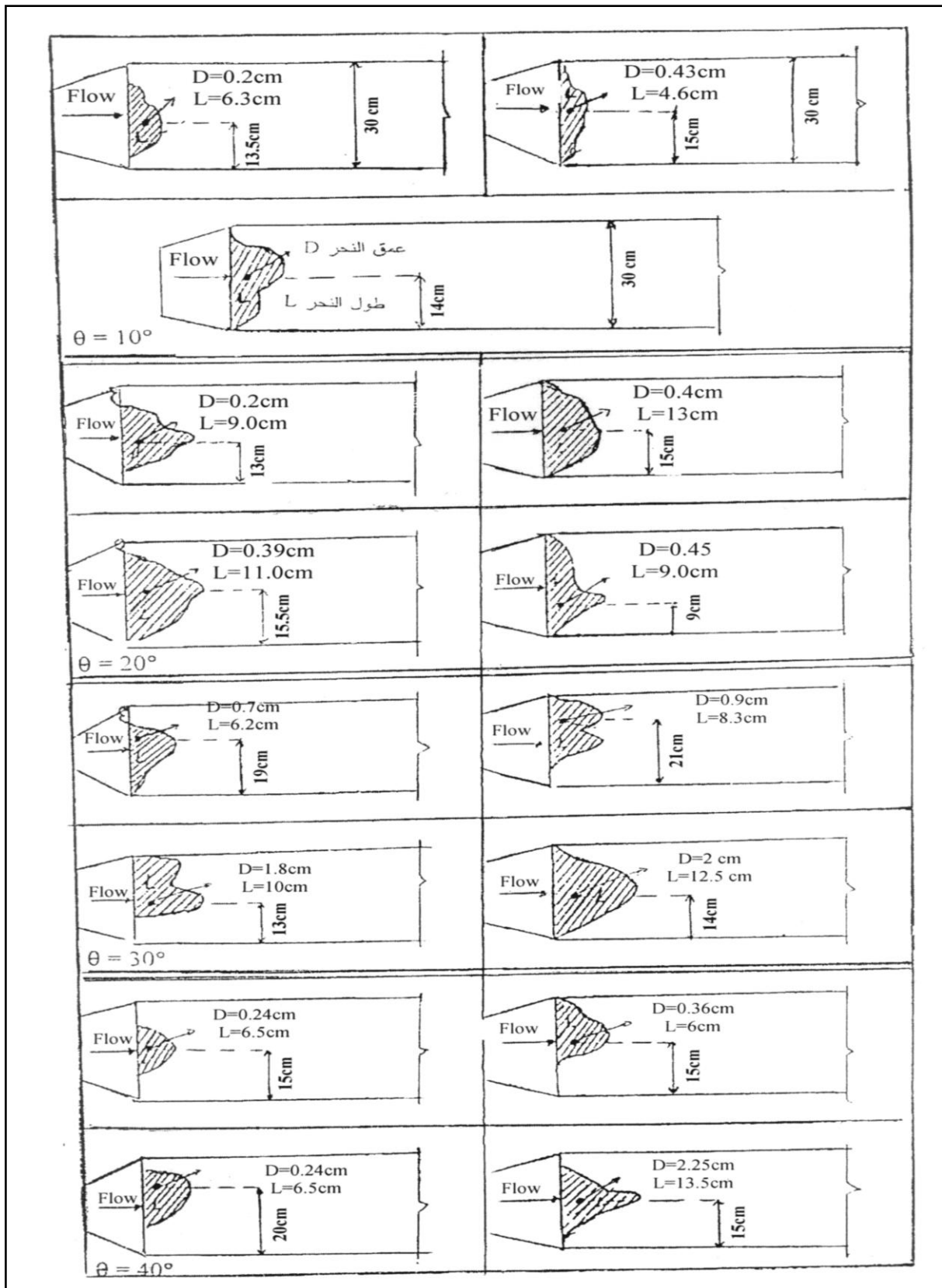
في البحث الحالي تم استخدام قناة مختبرية وكما موضحة ابعادها بالشكل ( 1 ) مع نماذج لمنشأ تحويل المقطع المستطيل الى مقطع مستطيل بابعاد اخرى اقل ذات جوانب تتغير زوايا انفراجها من ( 10° ) الى ( 90° ) وبطول مقطع للقناة (75سم) والذي يتأثر بمقدار وسرعة الجريان (flow) المار في هذه القناة المختبرية<sup>(1)</sup>. وقد استخدم الخشب المعاكس لعمل هذه النماذج المختبرية لهذا المنشأ وتم تبطين الارضية بالرمل الاحمر لقياس طول وعمق النحر الحاصل ( L,D ) فيها اثناء عملية الاختبار ويتصريف مختلفة علماً انه تم استخدام السد الغاطس الحاد ( Sharp Crested Weir ) في حساب التصاريف. والجدول (1) يبين اعماق الجريان والتصاريف المرادفة لها لجميع الزوايا اما الجدول ( 2 ) فيوضح نسبة طول الانجراف الى عمقه (L/D) لكل زاوية ، والاشكال (3،2) تبين النتائج المختبرية لعمق وموقع النحر لكل حالة وذلك للزوايا من (10°) الى (90°) علماً ان هناك تأثير واضح ( scale effect ) فيما لو كان المنشأ حقيقي وليس مختبري<sup>(7)</sup>.



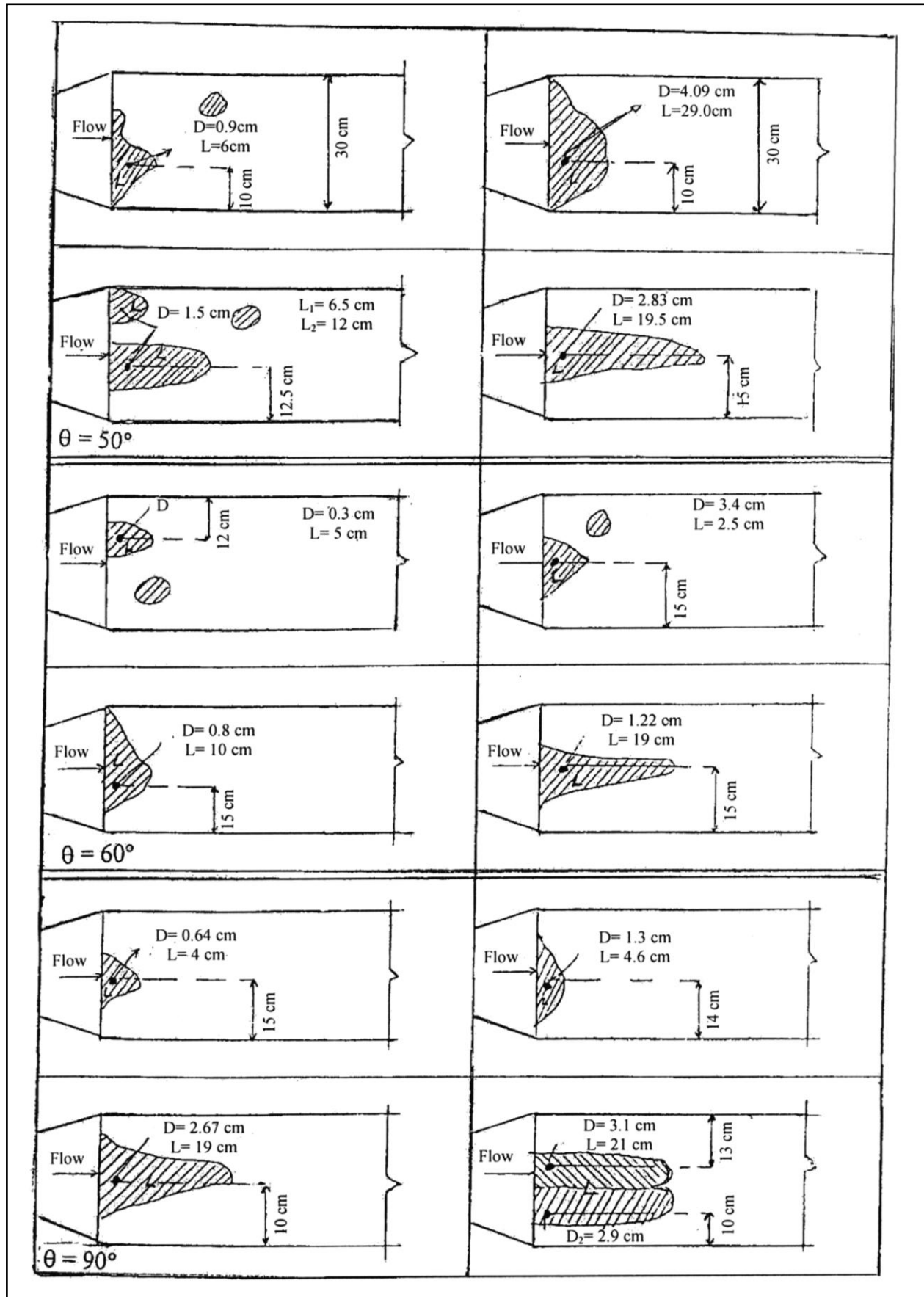
شكل 1 - مقاطع افقية وطولية للقناة المختبرية

جدول 1 - اعماق الجريان والتصاريح لجميع الزوايا

$\theta$ deg	B cm	L cm	Q m <sup>3</sup> /s	Y1 cm	Y2 cm	Y3 cm	h1 cm	h2 cm	h3 cm	h4 cm	h5 cm	h6 cm	h7 cm
10°	28	56.7	0.03	3.36	3.98	4.15	3.58	3.69	3.78	3.86	3.93	4.02	4.15
			0.354	4.08	4.67	4.8	4.15	4.28	4.47	4.55	4.62	4.69	4.8
			0.556	4.21	4.89	5.08	4.43	4.49	4.6	4.64	4.98	5.03	5.08
			0.957	4.4	5.34	5.55	4.68	4.99	5.13	5.22	5.3	5.38	5.55
20°	28	27.5	0.094	3.55	3.98	4.33	3.8	3.86	3.93	3.98	4.16	4.23	4.33
			0.564	4.28	4.81	5.09	4.52	4.63	4.71	4.81	4.03	5.04	5.09
			1.42	4.64	5.23	5.54	5.00	4.90	5.11	5.17	5.39	5.50	5.54
			1.844	5.3	5.77	6.4	6.64	5.0	6.16	5.77	6.03	6.26	6.4
30°	25.5	17.5	0.18	3.8	4.09	4.47	3.95	4.04	4.10	4.10	4.16	4.37	4.47
			0.586	4.07	4.84	5.12	4.7	4.9	4.82	4.95	5.06	5.15	5.11
			0.651	3.65	3.87	5.2	3.76	3.82	3.86	3.98	4.02	4.91	5.2
			2.33	5.45	6.12	6.8	5.85	6.15	6.17	6.16	6.28	6.43	6.79
40°	25.5	12	0.012	3.32	3.67	4.08	3.56	3.6	3.64	3.67	3.87	3.96	4.07
			0.28	3.97	4.31	4.73	4.22	4.31	4.42	4.53	4.6	4.67	4.72
			0.66	4.08	4.94	5.21	4.8	4.87	4.9	4.98	5.11	5.19	5.21
			2.116	5.01	5.7	6.63	6.1	6.18	5.75	5.7	6.03	6.37	6.63
50°	25.5	8.5	0.253	3.85	4.18	4.64	4.1	4.15	4.24	4.37	4.46	4.52	4.64
			1.18	5.2	5.49	5.8	5.35	5.5	5.61	5.66	5.78	5.79	5.8
			1.24	5.44	5.76	6.02	5.77	5.56	5.7	5.75	5.96	6.13	6.22
			2.00	5.73	5.96	6.15	5.94	5.97	6.2	5.99	6.15	6.3	6.51
60°	25.5	5.8	0.06	3.49	3.79	4.25	3.71	3.76	3.9	4.1	4.2	4.22	4.25
			0.87	4.88	5.12	5.54	5.1	5.1	5.1	5.2	5.4	5.51	5.54
			1.2	5.18	5.5	5.92	5.4	5.51	5.42	5.7	5.81	5.89	5.92
			1.67	5.51	5.67	6.4	5.9	5.61	5.96	6.0	6.2	6.3	6.4
90°	25.5	0.0	0.2	4.67	4.93	5.47	4.91	5.1	5.21	5.38	5.40	5.44	5.47
			0.585	3.9	4.14	4.7	4.11	4.26	4.35	4.54	4.6	4.66	4.7
			1.828	5.07	5.4	5.98	5.6	5.71	5.89	5.98	5.94	5.95	5.98
			2.466	6.0	5.95	7.1	5.9	6.82	6.7	6.9	6.99	7.0	7.1



شكل 2- طول وعمق الانجراف للزوايا (10, 20, 30, 40)



شكل-3- طول وعمق الانجراف للزوايا ( $90^\circ, 60^\circ, 50^\circ$ )

وتم استخدام المعادلة التالية لرقم فراود ( Froud Number )  
وبالصيغة التالية :

$$Fr = V / \sqrt{gy_1} \quad \dots(2)$$

حيث ان

$$\text{رقم فراود} = Fr$$

$$V1 = \text{معدل السرعة (م/ثا)}$$

$$Y1 = \text{عمق الماء على بعد ( 25 سم ) قبل منشأ تحوّل}$$

المقطع .

والجدول ( 2 ) يوضح قيم فراود Fr ونسبة طول موقع الانجراف الى عمقه ( L/D ) لزوايا انفراج مختلفة لجوانب المنشأ اما الشكل ( 4 ) يبين اعماق الجريان على طول المنشأ ولجميع التصاريح والزوايا التي اعتمدت في البحث.

### ٣. التحليل النظري:

لغرض قياس التصاريح المستخدمة مختبريا تم استخدام معادلة السد الغاطس التالية ( 3 ) :

$$Q = Cd \frac{2}{3} \sqrt{2g} BH^{3/2} \quad \dots(1)$$

حيث ان

$$Q = \text{التصريف (م}^3/\text{ثا)}$$

$$B = \text{عرض السد الغاطس (سم) } H = \text{عمق الماء الفعّال}$$

(متر)

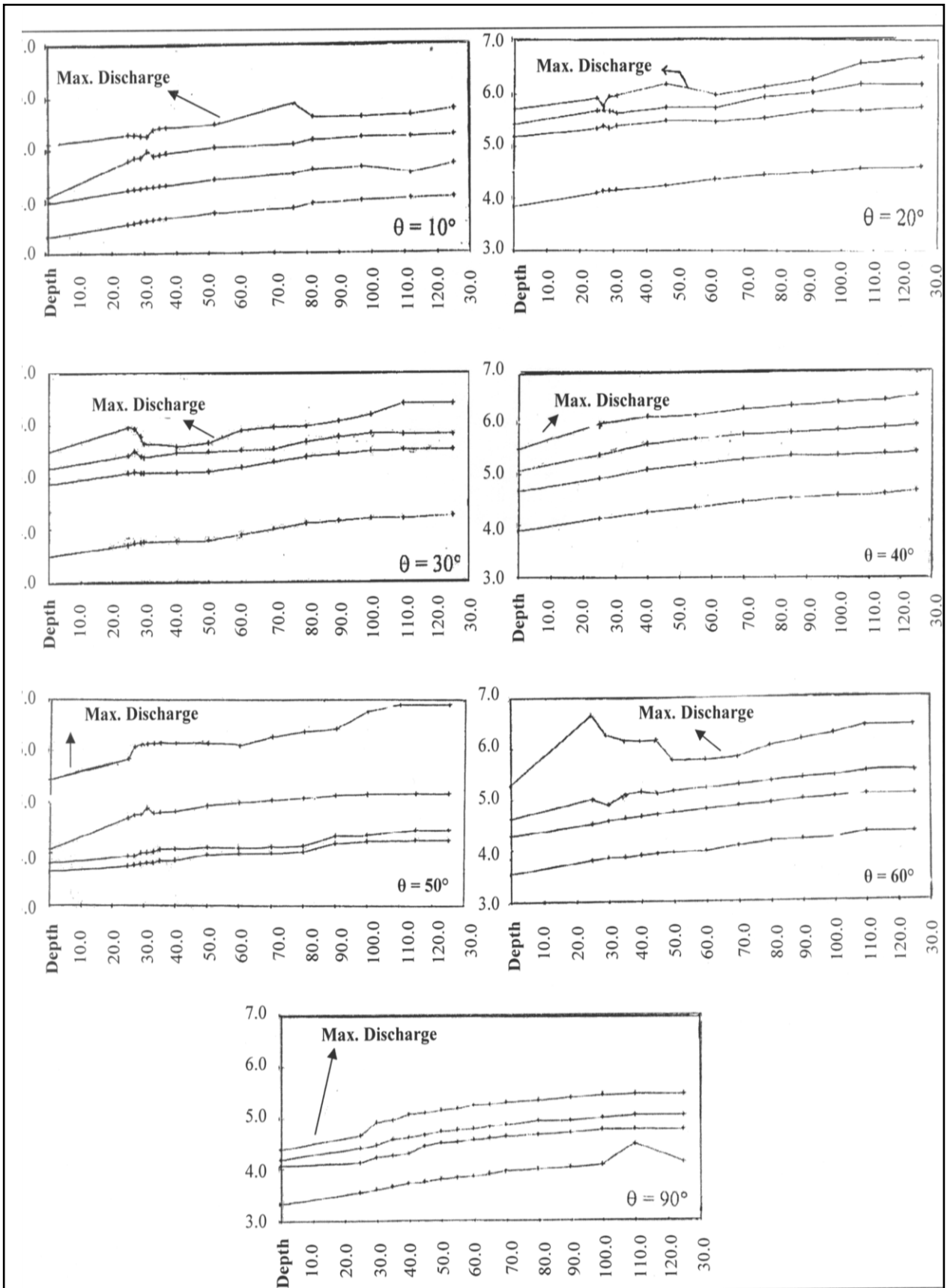
$$Cd = \text{معامل التصريف والذي تم ايجاد قيمته مختبريا}$$

$$\text{ويساوي ( 0.6 )}$$

### جدول - 2 -

قيم رقم فراود ونسبة طول الانجراف الى عمقه لجميع الزوايا

$\theta$ الزاوية (deg)	H عمق المياه (m)	A مساحة المقطع A=B.H (m <sup>2</sup> )	Q التصريف ( m <sup>3</sup> /s )	معدل السرعة V=Q/A (m/s)	Fr رقم فراود	L طول النحر (cm)	D عمق النحر (cm)	L/D
10°	1.54	0.431	0.03	0.07	0.122	6.3	0.2	31.5
	8.00	2.24	0.354	0.158	0.25	4.6	0.43	10.7
	10.8	3.024	0.556	0.183	0.28	10.0	0.54	18.5
20°	15.5	4.34	0.957	0.220	0.335	8.0	0.6	13.3
	3.302	0.924	0.094	0.101	0.171	9.0	0.2	45
	10.902	3.052	0.564	0.184	0.284	11.0	0.35	31.43
30°	15.4	4.312	1.42	0.329	0.487	9	0.45	20
	24.014	6.724	1.844	0.27	0.380	13.0	0.4	32.5
	4.7	1.198	0.18	0.150	0.245	8.3	0.9	9.22
40°	11.2	2.856	0.586	0.205	0.324	10.0	1.8	5.5
	12.0	3.06	0.651	0.213	0.356	6.2	0.7	8.9
	28.0	7.14	2.33	0.326	0.446	12.5	2.0	6.25
50°	0.8	0.204	0.012	0.050	0.107	6.5	0.24	27.1
	7.3	1.8615	0.28	0.150	0.240	6.0	0.36	16.6
	12.1	3.085	0.66	0.213	0.336	8.5	1.2	7.1
60°	26.32	6.711	2.116	0.315	0.449	13.0	2.25	5.7
	6.4	1.632	0.253	0.155	0.252	6.0	0.9	6.6
	18.0	4.59	1.18	0.257	0.36	12.0	1.5	8.0
70°	22.2	5.166	1.24	0.219	0.30	19.5	2.83	6.9
	25.3	6.451	2.00	0.31	0.413	29.0	4.09	7.1
	2.5	0.637	0.06	0.094	0.16	5.0	0.3	16.7
80°	15.4	3.927	0.87	0.22	0.32	10.0	0.8	12.5
	19.2	4.896	1.2	0.245	0.343	19.0	1.22	15.5
	24.0	6.12	1.67	0.273	0.37	25.0	3.4	7.35
90°	4.7	1.198	0.2	0.167	0.246	4.6	1.3	3.53
	7.0	1.785	0.585	0.328	0.53	4.0	0.64	6.25
	19.8	5.05	1.828	0.362	0.38	19.0	2.67	7.11
	31.0	7.905	2.466	0.312	0.406	21	3.1	6.77



شكل - 4 - اعماق الجريان على طول المنشأ ولجميع التصاريح

## 4. النتائج والمناقشة:

L	سم	طول النحر
$\theta$	درجة	زاوية الانفراج لجدران المنشأ
B	سم	عرض السد الغاطس
l	سم	طول منشأ تحويل المقطع
Cd	—	معامل التصريف
V	م / ثا	معدل السرعة
A	سم <sup>2</sup>	مساحة مقطع القناة
Fr	—	رقم فراود

## 7. المصادر:

- [1] A .J . Aisenbrey , Jr. , 1978 , “ Design of Small Canal Structure”, United States , Department of the Interior , Bureau of Reclamation .
- [2] Doddial , D. , 1967 , “ Scour Below Submerged Solid Bucket – Type Energy Dissipators “ , proceedings 12<sup>th</sup> Congress International Association for Hydraulic Research , Fort Collins , U . S . A . , Vol. 3 , paper No. C13 , PP. 105 – 116 .
- [3] RANald V . Giles , 1976 , “ Fluid Mechanics and Hydraulics “ . , Mc Graw – Hill Book Company .
- [4] RAID S . I . AL – Naqar , 1996 , “Local Scour Downstream of Chute Structures “ . , University of Technology , Iraq .
- [5] Vanoni , V . A . , ( Editor ) , 1977 , “Sedimentation Engineering “ , ASCE , Manual and Reports on Engineering Practice – No . 25 , New York , U . S . A . .
- [6] John A. Robeson, M Hanif chaudhry and John J. cassidy, 1995, " Hydraulic Engineering ", chapter 7, U.S.A.
- [7] P.NOVAK, A.I.B. Moffat, C.Nalluri and R.Narayanan, 2003, 3<sup>rd</sup> edition, chapter 8, U.S.A.

من تحليل نتائج الانجراف والحاصل في مؤخرة منشأ تحويل المقطع ولزوايا انفراج مختلفة تم تحديد الحالة التصميمية المفضلة والتي تعطي اقل مساحة ممكنة من الانجراف لأكبر تصريف واطول فترة تشغيل قبل الوصول الى اعظم انجراف ثابت. وبعبارة اخرى فان التصريف العالية تسبب في تقليل قيم عمق الجريان قبل بداية المنشأ بعكس التصريف القليلة. ويظهر من النتائج انه كلما زاد انفراج زاوية جوانب المنشأ للنموذج المختبري يلاحظ زيادة في حجم النحر طولاً وعمقاً حيث بلغ أقصى طول له في زاوية (90°) هو (27سم) وعمق (4.7سم). والنموذج الاكفأ هو الذي يتحقق عند الزاوية (40°) ويظهر فيها عند الاختبار ان طول النحر الحاصل هو (8.5سم) وعمقه (1.2سم) عند طاقة تصريفية تبلغ (6.3 لتر/ثا) وهذه هي افضل النتائج المتحققة مقارنة مع نتائج الزوايا الاخرى كما ان نسبة طول النحر الى عمقه (L/D) يقل مع زيادة رقم فراود Fr لمرحلة معينة من التصريف بعدها يثبت بشكل تقريبي وهذا واضح في الجدول (2).

## 5. الاستنتاجات:

من تحليل ومناقشة النتائج المختبرية لحالات الانجراف التي تحصل عادة في ارضية القنوات الترابية وذلك في مؤخرة منشأ تحويل المقطع ولزوايا انفراج متغيرة لجوانب المنشأ تم التوصل الى الاستنتاجات التالية :-

1. ان افضل زاوية انفراج لجوانب المنشأ هي الزاوية (40°) حيث حققت اقل طول واقل عمق للانجراف في مؤخرة المنشأ ويقوم مختبرية بلغت (8.5سم) و(1.2سم) على التوالي وتحت تصريف مقداره (6.3 لتر/ثا).
2. ان مقدار نسبة طول الانجراف الى عمقه (L/D) تتغير بشكل عام بعلاقة عكسية مع قيم فراود ولجميع الحالات إلا ان مقدار شدة التغير يزداد طردياً مع قيمة زاوية الانفراج.

## 6. قائمة الرموز:

التصريف	م <sup>3</sup> /ثا	Q
عمق الماء في القناة	سم	h
عمق الماء فوق الحافة الحادة للسد الغاطس	م	H
عمق الماء على بعد (25سم) قبل المنشأ	سم	Y <sub>1</sub>
عمق الماء في نهاية المنشأ	سم	Y <sub>2</sub>
عمق الماء على بعد (20سم) قبل حافة السد الغاطس	سم	Y <sub>3</sub>
عمق النحر	سم	D

## Effect of Flaring Angle of Transition Structure On the Scouring of outlet structure

**Sawsan H. Muhammed and Karem Khalaf Hadi**

*Department of Building and Construction Engineering/ University of Technology*

---

### Abstract

The transition structure is considered as the most important hydraulic structure controlling the w/s transtion, moreover it decrease the scouring of outlet structure.

seven experiment samples for transition structure was used in this research at different angles (  $10^{\circ}$  -  $90^{\circ}$  ).

It was shown that froud number has a clear effect on the depth of the scouring, moreover the high discharge rates cause an increase of the ratio between the length of the scour and its depth.

In order to select the best flaring angle it was shown that the angle of  $40^{\circ}$  has the most discharge rate, least structure length and least angle scour depth, with the firmly of the other factors affecting the scouring of outlet structure.

---